

EARTHQUAKE PREDICTION THEORY & ITS RELATION TO PRECURSORS

A. Negarestani, S. Setayeshi*, M. Ghannadi - Maragheh**, B. Akasheh****

*Faculty of Physics, Amir-Kabir University (Tehran Polytechnic), Iran**

*Atomic Energy Organization of Iran***

*Tehran University****

Since we don't have enough knowledge about the Physics of earthquakes, therefore, the study of seismic precursors plays an important role in earthquake prediction. Earthquake prediction is a science which discusses about precursory phenomena during seismogenic process, and then investigates the correlation and association among them and the intrinsic relation between precursors and the seismogenic process, at the end judges comprehensively the seismic status and finally makes earthquake prediction. There are two ways for predicting earthquake prediction. The first is to study the physics of seismogenic process and to determine the parameters in the process based on the source theories and the second way is to use seismic precursors. In this paper the theory of earthquake is reviewed. We also study theory of earthquake using models of earthquake origin, the relation between seismogenic process and various accompanying precursory phenomena. The earthquake prediction is divided into three categories: long-term, medium-term and short-term. We study seismic anomalous behavior (SAAB), electric field, crustal deformation, gravity, magnetism of earth, change of groundwater variation, groundwater geochemistry and change of Radon gas emission. Finally, it is concluded that there is a correlation between Radon gas emission and earthquake phenomena. Meanwhile, there are some samples from actual processing in this area.

محاسبه پذیرفتاری اسپینی مایع هلیوم دو بعدی در دمای صفر مطلق

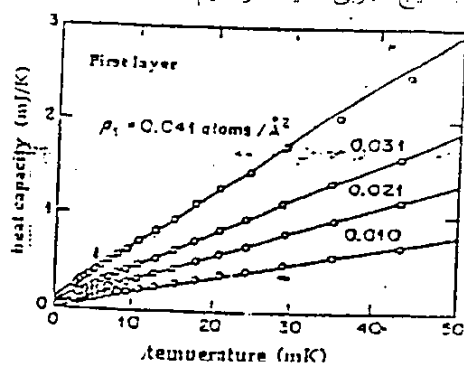
علیرضا درودی

بخش فیزیک نظری و ریاضیات، سازمان انرژی اتمی ایران

چکیده

در این مقاله با استفاده از فرمولیندی خود سازگار STLS^(۱)، که روش بس ذرهای غیر اختلالی است، به مطالعه خواص اسپینی مایع بهنجار هلیوم دو بعدی در دمای صفر مطلق می پردازم. به عنوان پتانسیل برهمکنش بین ذرات هلیوم، از پتانسیل HFD-B^(۲) استفاده می کنم و به کمک آن پارامتر لاندانو F^* و پذیرفتاری اسپینی^(۳) یک لایه نازک (فیلم) دو بعدی هلیوم ۳ را در چگالیهای سطحی مختلف به دست می آوریم. در پایان، کمیتهای حساب شده با نتایج تجربی مقایسه می شوند.

سطحی کم، در دماهای میلی کلوین مشاهده شده است. دو نمونه از اندازه گیری ظرفیت گرمایی در لایه های اول و دوم، در شکلهای او ۲ نشان داده شده و مؤید این است که هلیوم ۳ در چگالیهای کم، رفتار مایع فرمیونی را دارد. از جمله کمیتهای ترمودینامیکی لایه نازک دو بعدی هلیوم ۳ که به طور تجربی اندازه گیری شده پذیرفتاری اسپینی به صورت تابعی از چگالی سطحی است؛ در این مقاله با استفاده از یک نظریه ریزنما (میکروسکوپی) این کمیت را محاسبه و با نتایج تجربی مقایسه کرده ایم.



شکل ۱- ظرفیت گرمایی لایه اول مایع هلیوم ۳ به صورت تابعی از چگالی سطحی در دماهای بسیار پایین رفتار خطی، مشخصه یک مایع فرمی است [۲]

- 1- Sinowi, Tosi, Land , Sjolander
- 2-Hartree - Fock - damped dispersion
- 3- Spin susceptibility
- 4- Submonolayer

لایه های نازک هلیوم ۳ در ضخامت های اتمی، که به صورت جذب سطحی روی زمینه گرافیتی ظاهر می شوند، در دماهای میلی کلوین خواص بسیار بروز می دهند. این خواص در مرحله اول ناشی از ماهیت فرمیونی اتمهای هلیوم ۳ و در مرحله بعد به علت سرشت دو بعدی این گونه دستگاه هاست. بیشترین اطلاعات ما درباره خواص این گونه دستگاه های دو بعدی به وسیله اندازه گیری ظرفیت گرمایی [۱,۲,۳] و اندازه گیری تشدید مغناطیسی هسته ای [۴,۵,۶,۷] روی لایه های هلیوم جذب شده بر سطح گرافیت به دست آمده است. پژوهشگران متعددی این دستگاه را مورد مطالعه قرار داده اند و با استفاده از تغییر چگالی سطحی، ساختارهای متفاوتی برای آن به دست آورده اند. اندازه گیری ظرفیت گرمایی بر روی لایه نازک «زیر - تک لایه»^(۴) نشان داده است که این دستگاه دو بعدی، بسته به چگالی سطحی خود می تواند در فاز سیال و یا در فازهای مختلف جامد ظاهر شود. نمودار فاز لایه نازک هلیوم ۳، جذب شده بر سطح گرافیت، نشان می دهد که «هلیوم ۳ دو بعدی» در لایه اول تا چگالی حدود $A^{-2} \text{ m}^{-2}$ در لایه دوم تا چگالی حدود $A^{-2} \text{ m}^{-2}$ و در لایه های سوم و بالاتر تا چگالیهای بیشتری به صورت سیال است و رفتار مایع گونه دارد. می دانیم که در دستگاه فرمیونی، ظرفیت گرمایی در حالت مایع باید با دما رابطه خطی داشته باشد. چنین رفتاری در ندازه گیریهای ظرفیت گرمایی لایه نازک هلیوم ۳ در چگالیهای

۲- چارچوب نظری - فرمولبندی STLS

معادله حرکت تابع توزیع تک ذره‌ای کلاسیک $f_o(\vec{r}, \vec{p}, t)$ در حضور میدان مغناطیسی، خارجی $\vec{H}(\vec{r}, t)$ به صورت زیر نوشته می‌شود:

$$\frac{\partial f_o(\vec{r}, \vec{p}, t)}{\partial t} + \vec{V} \cdot \vec{\nabla}_{\vec{r}} f_o(\vec{r}, \vec{p}, t) + \mu_o \vec{\nabla}_{\vec{p}} H(\vec{r}, t) \cdot \vec{\nabla}_{\vec{p}} f_o(\vec{r}, \vec{p}, t) = - \sum_{\sigma} \int \vec{\nabla}_{\vec{p}} v(\vec{r} - \vec{r}') \cdot \vec{\nabla}_{\vec{p}} f_{\sigma\sigma'}(\vec{r}, \vec{p}, \vec{r}', \vec{p}', t) d\vec{r}' d\vec{p}' \quad (1)$$

در این معادله $v(\vec{r})$ تابع توزیع دو ذره‌ای و $\mu_o = \pm \mu_B$ است که بسته به جهت نسبی میدان مغناطیسی H و اسپین σ علامت $+$ یا $-$ وارد می‌شود.

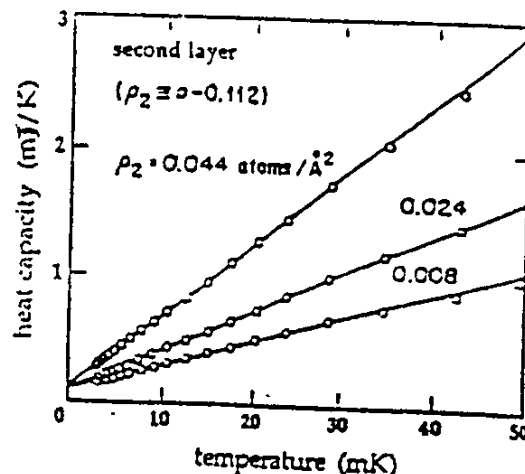
این معادله حرکت در صورتی قابل حل است که تابع توزیع دو ذره‌ای به طریقی بر حسب تابع توزیع تک ذره‌ای بیان شود. تقریب اساسی STLS به صورت زیر در نظر گرفته می‌شود:

$$\sum_{\sigma} f_{\sigma\sigma'}(\vec{r}, \vec{p}, \vec{r}', \vec{p}', t) = f_o(\vec{r}, \vec{p}, t) \sum_{\sigma'} f_{\sigma'}(\vec{r}', \vec{p}', t) g_{\sigma\sigma'}(\vec{r} - \vec{r}') \quad (2)$$

در این تقریب تابع توزیع دو ذره‌ای بر حسب تابع توزیع تک ذره‌ای و تابع همیستگی استاتیک تعادلی بیان می‌شود. تابع همیستگی استاتیک تعادلی برای یک جفت ذره با اسپین‌های σ و σ' چنین است:

$$g_{\sigma\sigma'}(\vec{r} - \vec{r}') = \frac{4}{\pi^2} < \sum_{i=1}^{(o)} \sum_{j=1}^{(o')} \delta(\vec{r} - \vec{r}' + \vec{r}_i - \vec{r}_j) > \quad (3)$$

برای نبدیل این معادله به معادله قابل حل در چارچوب نظریه پاسخ خطی^(۴) فرض می‌کنیم که انحراف تابع توزیع نسبت به تابع توزیع تعادلی $\langle \vec{P} \rangle^{(0)}$ که به وسیله میدان مغناطیسی خارجی القامی شود کوچک باشد. بنابراین، می‌توان از تقریب پاسخ خطی استفاده کرد و تابع توزیع تک ذره‌ای را به صورت زیر نوشت:



شکل ۲- ظرفیت گرمایی لایه دوم مایع هلیوم ۳ به صورت تابعی از جگالی سطحی در دماهای سیار پایین. رفتار خطی مشخصه یک مایع فرمی است [۲].

تقریب STLS نخستین بار در ۱۹۶۸ به منظور در نظر گرفتن برهمکنش الکترون - الکترون در ناحیه چگالیهای فلزی ارائه شد و نتایج خوبی در مورد مایع‌های الکترونی بهمراه داشت [۸]. سپس در ۱۹۸۷ این تقریب در مورد دستگاه فرمیونی مدل با پتانسیل برهمکنش هسته سخت^(۵) همراه با دنباله جذبی، به عنوان مدلی از مایع هلیوم ۳ بکار رفت [۹].

همین تقریب با پتانسیل برهمکنش واقعی مانند پتانسیل عزیز (یا لیارجونز و مشابه آنها) در مورد هلیوم ۳ مایع بکار گرفته شد و نتایج معقولی به دست آمد [۱۰]. به دلیل موفقیت آمیز بودن کاربرد آن برای مایع هلیوم ۳ (سه بعدی)، سعی کردیم که آن را در باره لایه نازک دو بعدی هلیوم ۳ نیز به کار ببریم [۱۱].

در این مقاله نظریه حودسارگار STLS [۸] را در مورد مایع هلیوم دو بعدی ناقصیده بکار برده‌ایم. با معزوفی «تابع پاسخ اسپینی» در چارچوب STLS، که نظریه تقریب فاز اتفاقی (اراندمی) تعمیمه یافته است و با استفاده از «پتانسیل برهمکنش عزیز» به عنوان پتانسیل برهمکنش اتمهای لخت، علاوه بر پذیرفتابی اسپینی، تابع ساختار استاتیکی و تابع توزیع دوتایی و پتانسیل برهمکنش مؤثر نیز قابل محاسبه‌اند، همچنین تغییرات آنها در اثر تغییر چگالی سطحی نیز قابل بررسی است.



$$X_s(\vec{q}, \omega) = \int \frac{\vec{q} \cdot \vec{\nabla}_{\vec{p}} f^{(+)}/(\vec{p})}{\frac{\vec{q} \cdot \vec{p}}{m} - \omega} d\vec{p} \quad (11)$$

$X_s(\vec{q}, \omega)$ قطبش پذیری دستگاه فرمیونی بدون برهمکنش و تابع شناخته شده‌ای از \vec{q} و ω است. بنابراین مغناطش پذیری دینامیکی وابسته به \vec{q} و ω در چارچوب نظریه پاسخ خطی به صورت زیر به دست می‌آید:

$$X_s(\vec{q}, \omega) = -g^r \mu_B \frac{X_s(\vec{q}, \omega)}{1 - v_{eff}^a(\vec{q}) X_s(\vec{q}, \omega)} \quad (12)$$

لازم به توضیح است که در چارچوب نظریه پاسخ خطی^{*}، تابع پاسخ اسپینی که همان مغناطش پذیری دینامیکی پارامغناطیس است به صورت «نسبت مقدار متوسط» $F(\vec{q}, \omega)$ ، به «اختلال خارجی» $H(\vec{q}, \omega)$ تعریف می‌شود.

با استفاده از قضیه افراخیز - اتلاف^(V)، رابطه بین $\tilde{S}(\vec{q}, \omega)$ و $S(\vec{q}, \omega)$ به دست می‌آید:

$$\tilde{S}(\vec{q}) = \frac{\hbar}{\pi n g^r \mu_B} \int_0^\infty d\omega \text{Im} X_s(\vec{q}, \omega) \quad (13)$$

معادلات (۹) و (۱۲) و (۱۳) یک دستگاه معادله را تشکیل می‌دهند که با حل خود سازگار این دستگاه می‌توان $\tilde{S}(\vec{q})$ و $\tilde{g}(\vec{r})$ را به دست آورد. معادلات بالا در حقیقت نشان دهنده تقریب فاز اتفاقی (RPA)^(A) تعمیم یافته است.

برای یک سیستم همسانگرد (کمیتهای فیزیکی مستقل از جهت‌گیری فضایی هستند) برهمکنش مؤثر شبه ذرات در چارچوب تقریب STLS به صورت زیر در می‌آید.

$$v_{eff}^a(r) := - \int_r^\infty dr \tilde{g}(r) \frac{dr(r)}{dr} \quad (14)$$

که $v_{eff}^a(r) v_{eff}^a(q)$ تبدیل فوریه است.

برای یک سیستم دو بعدی که در اینجا مورد نظر است معادلات

$$f_\sigma(\vec{r}, \vec{p}, t) = f_\sigma^{(+)}(\vec{p}) + f_\sigma^{(-)}(\vec{r}, \vec{p}, t) \quad (4)$$

(۱) انحراف تابع توزیع نسبت به توزیع تعادلی است که فرض می‌شود در مقایسه با $f_\sigma^{(+)}(\vec{p})$ کوچک است. با قراردادن معادله ۴ در معادله ۱ و با در نظر گرفتن تنها جملات خصی برحسب:

$$F(\vec{r}, \vec{p}, t) \equiv f_\uparrow(\vec{r}, \vec{p}, t) f_\downarrow(\vec{r}, \vec{p}, t) \quad (5)$$

خواهیم داشت:

$$\left(\frac{\partial}{\partial t} + \vec{v} \cdot \vec{\nabla}_{\vec{r}} \right) F(\vec{r}, \vec{p}, t) + g \mu_B \vec{\nabla}_{\vec{r}} H(\vec{r}, t) \cdot \vec{\nabla}_{\vec{p}} f^{(+)}(\vec{p}) \quad (6)$$

$$- \int \vec{\nabla}_{\vec{r}} v(\vec{r} - \vec{r}') \cdot F(\vec{r}', \vec{p}', t) [\tilde{g}(\vec{r} - \vec{r}') d\vec{r}' d\vec{p}'] \cdot \vec{\nabla}_{\vec{p}} f^{(+)}(\vec{p}) = 0$$

در این رابطه داریم:

$$\tilde{g}(\vec{r}) = \frac{1}{\pi} [\tilde{g}^{\uparrow\uparrow}(\vec{r}) - \tilde{g}^{\uparrow\downarrow}(\vec{r})] \quad (7)$$

با قراردادن تبدیل فوریه توابع موجود در معادله ۶ نسبت به \vec{r} و \vec{p} و $\exp[-i(\vec{q} \cdot \vec{r} - \omega t)]$ ضرب طرفین معادله در عبارت $\tilde{S}(\vec{q})$ انتگرال‌گیری از دو طرف معادله نسبت به \vec{r} و \vec{p} و سرانجام انتگرال‌گیری نسبت به \vec{p} داریم:

$$g \mu_B \int F(\vec{q}, \omega, \vec{p}) d\vec{p} = -g^r \mu_B \frac{X_s(\vec{q}, \omega) H(\vec{q}, \omega)}{1 - v_{eff}^a(\vec{q}) X_s(\vec{q}, \omega)} \quad (8)$$

که در آن:

$$v_{eff}^a(\vec{q}) = \frac{1}{\pi} \Phi(\vec{q}) \int \frac{\vec{q} \cdot \vec{q}'}{|\vec{q}|^2} [\tilde{S}(\vec{q} - \vec{q}') - 1] \frac{d\vec{q}'}{(2\pi)^3} \quad (9)$$

$$\tilde{S}(\vec{q}) - 1 = n \int \tilde{g}(\vec{r}) e^{-i\vec{q} \cdot \vec{r}} d\vec{r} \quad (10)$$

*- برای تفصیل بیشتر، به مراجع [۱۲] و [۱۳] ارجاع شود.

7- Fluctuation - Dissipation Theorem

8- Generalized random phase approximation



به صورت زیر نوشته می‌شوند:

$$\tilde{S}(q) = \frac{\gamma q}{\pi} \int_{-\pi}^{\alpha(q)} d\alpha \left\{ \sqrt{1-q^2/\epsilon \sin^2 \alpha} - \frac{\cot \alpha}{\sqrt{1-q^2/\epsilon \sin^2 \alpha}} \right\} \\ \times \left\{ \frac{1-\cos \alpha}{1+v_{\text{eff}}^a(q) \frac{m}{\pi \hbar} (1-\cos \alpha)} \right\} \quad (21)$$

$$X_s(q,\omega) = \frac{X_s(q,\omega)}{1-v_{\text{eff}}^a(q) X_s(q,\omega)} \quad (15)$$

که در آن:

$$\alpha(q) = \begin{cases} \frac{\pi}{2} & : q \leq 2 \\ \sin^{-1}\left(\frac{2}{q}\right) & : q \geq 2 \end{cases} \quad (22)$$

اکنون معادلات ۱۶ و ۲۱ را به صورت تکراری حل می‌کنیم: با شروع از $r(r)$ که در تقریب هارتی - فاخ شناخته شده است به کمک معادله ۱۶ پتانسیل مؤثر $v_{\text{eff}}^a(q)$ را به دست می‌آوریم، سپس به کمک رابطه ۲۱ تابع $\tilde{S}(q)$ را حساب می‌کنیم، آنگاه از معادله ۱۸ تابع $r(r)$ را در نخستین مرحله تکرار به دست می‌آوریم. $r(r)$ بدست آمده را بار دیگر در ۱۶ قرار می‌دهیم و عملیات بالا را تکرار می‌کنیم تا نهایتاً یک تابع $r(r)$ مسکرا به دست آید.

لازم به توضیح است که بدون ثابت گرفتن پتانسیل لخت برهمکنش بین دو ذره در «ناحیه مغزی» $(r < 2r_c)$ (حدود $r < 2r_c$) $\tilde{S}(q)$ این روش تکرار همگرانخواهد شد.

بنابراین تنها پارامتر ورودی در این تقریب، که همان پتانسیل برهمکنش لخت بین ذرات است، با تغییر اشاره شده در بالا (عنی به ازای $r < r_c$ داریم $V(r) = V(r_c)$) در محاسبات به کار می‌رود. نقطه برش پتانسیل در این محاسبات، بسته به چگالی سطحی دستگاه، می‌تواند از $A = 2/45$ تا $A = 2/52$ تغییر کند. منشأ عدم همگرايی در مرجع ۱۰ توضیح داده شده است. همچنین شکل تحلیلی پتانسیل HFD-B در مقاله مذکور آمده است.

۳- نتایج عددی

الف) پارامتر لاندانو F_0 : پارامتر F_0 را می‌توان به کمک رابطه زیر به دست آورد [۱۳]:

$$v_{\text{eff}}^a(q) = -\frac{\lambda}{q} \int_r^\infty dr \tilde{g}(r) \frac{dv(r)}{dr} r J_a(qr) \quad (16)$$

$$\tilde{S}(q) = -\frac{\lambda}{q} \int_r^\infty d\omega \text{Im} X_s(q,\omega) \quad (17)$$

$$\tilde{g}(r) = -\frac{1}{qr} \int_r^\infty dq q J_a(qr) [\tilde{S}(q) - 1] \quad (18)$$

برای تابع لیندهارد $(X_s(q,\omega))$ دو بعدی، صورتهای مختلفی استخراج شده است که مناسب ترین آنها به توسط فرایتاس^(۹) پوریاتی^(۱۰) و اشتودارت^(۱۱) پیشنهاد شده است [۱۴]. آنان به کمک تبدیل های زیر، متغیرهای q و ω را به متغیرهای α و β تبدیل کرده و شکل (α) را به دست آورده‌اند.

$$\frac{2q_F}{q} = \text{Cos } h\beta \text{ Sin } \alpha \quad (19a)$$

$$\frac{2m\omega}{\hbar q^2} = \text{Sin } h\beta \text{ Cos } \alpha \quad (19b)$$

$$0 < \beta < \infty \text{ و } 0 < \alpha < \frac{\pi}{2}$$

با این تبدیل، (α) به صورت زیر به دست می‌آید:

$$X_s(\alpha, \beta) = X_s(\alpha) = -\frac{m}{\pi \hbar} (1 - \cos \alpha) \quad (20)$$

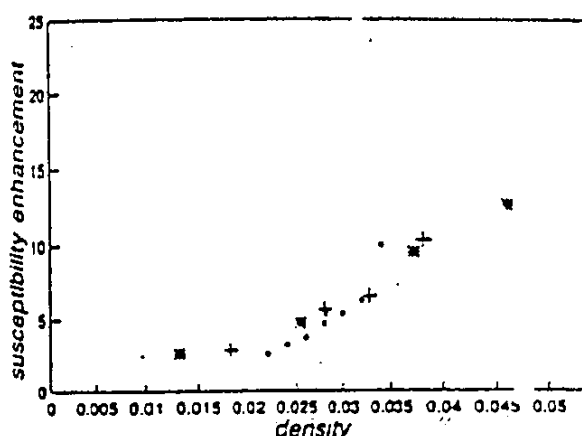
با قراردادن تابع $X_s(\alpha)$ در معادله ۱۵ تابع ساختار استاتیک اسپیسی $S(q)$ به صورت زیر به دست می‌آید:

9- Freitas

10-Ioriatti

11-Studart

12- Core region



شکل ۴ - پذیرفتاری نسبی اسپینی به صورت تابعی از جگالی سطحی مابع نقطه‌ها. معروف تابع حاصل از محاسبات در این مقاله است. ستاره های نتایج تجربی مرجع دو علامتها + نتایج تجربی مرجع ۷ را نشان می‌دهند.

ب) پذیرفتاری اسپینی: پذیرفتاری اسپینی هسته‌ای لایه هلیوم ۲ جذب شده با استفاده از روش تشدید مغناطیسی هسته‌ای (NMR) برای لایه اول ${}^3\text{He}$ بر روی گرافیت به توسط Morhard و همکاران [۷] و برای لایه دوم سیال ${}^3\text{He}$ بر روی Lusher و همکاران [۵] اندازه گیری شده است. پذیرفتاری نسبی به صورت نسبت پذیرفتاری یک مابع فرمی برهمکنشی در صفر مطلق، $(*) X$ ، به مقدار متضاد آن برای گاز فرمی ایده‌آل $(*) X$ تعریف می‌شود.

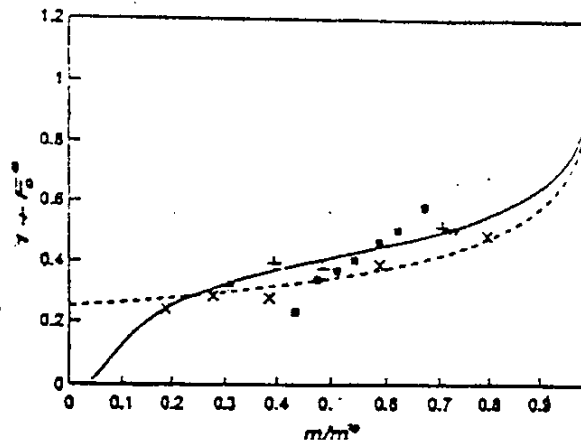
این پذیرفتاری نسبی با معادله

$$\frac{X(0)}{X_*(0)} = \frac{m^*}{m} \frac{1}{1 + F_*}$$

به پارامتر لاندالو F_* ارتباط پیدا می‌کند [۷] برای مقادیر $\frac{m^*}{m}$ بدانسان که در قسمت الف توضیح داده شد، از مقادیر تجربی استفاده شده است [۲]. در شکل ۴ پذیرفتاری نسبی حاصل از این محاسبات با مقادیر تجربی مقایسه شده است [۵و۷] چگالی برحسب A^* بیان شده است و مربعهای کوچک تو پر نتایج حاصل از محاسبات را نشان می‌دهد.

$$F_* = \frac{m^*}{m} \lim_{q \rightarrow 0} [n \times v_{\text{eff}}^*(q)] \quad (23)$$

m^* جرم مؤثر شده ذرات ${}^3\text{He}$ و n چگالی عددی دستگاه دو بعدی است.



شکل ۳ - پارامتر لاندالو به صورت تابعی از معکوس جرم مؤثر نسبی خطوط پر و نقطه چین به ترتیب نشان دهنده نتایج نظری مدل پارامگنون [۱۵] و مدل فرمیونی تقریباً جایگزینه [۱۶] می‌باشند. علامتها + نتایج تجربی مرجع ۷ و پژوهش‌های نتایج تجربی مرجع ۵ را نشان می‌دهند مربعهای توپر نشان دهنده نتایج حاصل از محاسبات در این مقاله است.

برای تعیین مقدار $\frac{m^*}{m}$ در چگالیهای مختلف، از مقادیر تجربی عرضه شده به توسط پژوهشگران که با اندازه گیری گرمای ویژه به دست آمده‌اند، استفاده شده است [۷و۲].

مقادیر محاسبه شده پارامتر F_* به صورت تابعی از m/m^* با مقادیر تجربی و مقادیر پیش‌بینی شده در نظریه‌های دیگر مقایسه شده است (شکل ۳). در این شکل، منحنی‌های توپر و نقطه چین به ترتیب نشان دهنده نتایج نظری مدل پارامگنون (PMM) [۱۳] و مدل فرمیونی تقریباً جایگزینه (ALFM) [۱۴] [۱۶] می‌باشد. و مربعهای توپر نشان دهنده نتایج حاصل از محاسبات این مقاله است.

13- Paramagnon model

کوتاه شده، نده؛

14- Almost Localized fermion model

15- Nuclear magnetic resonance



بحث و نتیجه‌گیری

هليوم ۳ با خشامت اتمی به صورت لایه جذب شده بر روی زمینه گرافیتی و بعضی مواد زمینه‌ای جامد دیگر ظاهر می‌شود. ماده زمینه دارای اثر پوشش دهنده^(۱۶) بر روی بخش جذبی پتانسیل برهمکنش بین اتمهای هليوم است همچنین باید حرکت اتمها در جهت عمود بر صفحه لایه نازک دو بعدی را در نظر گرفت. اين عوامل بر پتانسیل برهمکنش لخت اثر می‌گذارند و آن را تغیير می‌دهند. در مرحله بعد می‌خواهيم اين پتانسیلهای تغيير يافته را به کار برييم و اثر آنها را بر روی پارامترهای دستگاه مطالعه كنیم.

در اینجا ما با استفاده از تقریب STLS به محاسبه پارامتر لاندانو E و پذیرفتاري ماده هليوم ۳ دو بعدی به صورت تابعی از چگالی سطحي آن پرداخته‌ایم. پتانسیل برهمکنش لخت به کار رفته «پتانسیل عزيز» (HFD-B) است که رفتار مجانبی درستی دارد و پارامترهای آن از طریق برآراش این پتانسیل با داده‌های ترمودینامیکی به دست آمده‌اند. به صوری که اشاره شد لایه نازک

References

1. D.S. Greywall and P. A. Busch, Phys. Rev.Lett. 60, 1860 (1988); 62, 1868(1989); 65, 2788(1990).
2. D.S. Greywall and P.A. Busch. Phys. Rev. Lett. 65, 64(1990).
3. D.S. Greywall, Phys. Rev. B 41, 1842 (1990); Physica B 197, 1 (1994).
4. J. Saunders, C.P. Lusher, and B.P. Cowan, Phys. Rev. Lett. 64, 2523 (1990).
5. C.P. Lusher, B.P. Cowan, and J. Saunders. Phys. Rev. Lett. 67, 2497 (1991).
6. R.E. Rapp and H. Godfrin, Phys. Rev.B 47, 12004 (1993).
7. K. D. Morhard, J. Bossy, and H. Godfrin, Phys. Rev. B 51, 446 (1995).
8. K.S. Singwi, M.P. Tosi, R.H. Land, and A. Sjölander, Phys. Rev. 176, 589(1968); K.S. Singwi and M.P. Tosi, "Solid State Physics", Advances in Research and Application, edited by Editor(s) (Academic, New Yourk, 1981), Vol.36, p. 177, and references therein.
9. Tai Kai Ng and K.S. Singwi, Phys. Rev. B 35, 1708 (1987); 35,6683(1987).
10. N. Nafari and A. Doroudi, Phys. Rev. B 51, 9019(1995).
11. A. Doroudi, Phys. Rev. B 58,438(1998).
12. A.L. Fetter and J. D. Walecka, Quantum Theory of Many Particle Systems(McGraw - Hill, Inc. 1971).
13. D. Pines and P.Noziers, The theory of Quantum Liquids (Benjamin, New Yourk,1966), Vol. 1.
14. U. de Freitas, L.C.Ioriatti, and N. Studart, J. Phys. C 20, 5983 (1987).
15. S. Doniach and S. Engelsberg, Phys. Rev. Lett. 17, 750 (1966); N.F. Berk and J.R. Schrieffer, ibid. 17, 433(1966).
16. W.F. Brinkman and T.M.Rice, Phys. Rev. B 2, 4302 (1970).

Calculation of Spin Susceptibility of Two-dimensional Liquid ^3He at Zero Temperature

A. Doroudi

Department of Theoretical Physics and Mathematics

Center for Nuclear Research, AEOI, P.O. Box 11365-8486,

Tehran - Iran

Abstract

In this paper the self-consistent scheme proposed by Singwi, Tosi, Land, and Sjölander has been used to study equilibrium properties of two-dimensional normal liquid ^3He at zero temperature. By employing the Aziz potential (HFD-B) as a realistic two-body interaction between helium atoms, the Landau parameter $F_c^{\prime \prime}$ and spin susceptibility as a function of surface densities has been calculated. The calculated spin susceptibility enhancement factor is compared with the experimental data.